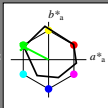


Ein und Ausgabe: Farbmetrisches Drucker-Reflektiv-System ORS20_95, L* = 20_95 für relativen CIELAB-Buntton $h^* = lab^*h^* = h_{ab}/360 = 0.424$ $u^*_d = 100c$
 Daten für jede Farbe:
 lab^*ich^* und lab^*icu^*
 Bunttontexte:
 $u^*_d = 100c$ $u^*_e = j85g$
 Kontrastreduzierungsfaktor:
 $c_R = 1.0$
 Dreiecks-Helligkeit i^*



ORS20_95a; adaptierte CIELAB-Daten

u^*_d	$L^*=L^*_a$	a^*_a	b^*_a	C^*_{aba}	h^*_{aba}
OMa	46.89	66.19	40.28	77.48	31
YMa	88.66	-9.62	88.21	88.73	96
LMa	54.22	-65.29	33.87	73.56	153
CMa	61.43	-30.53	-42.04	51.96	234
VMa	25.93	25.95	-47.37	54.01	299
MMa	47.92	73.53	-9.02	74.08	353
NMa	20.41	0.0	0.0	0.0	0
WMa	94.64	0.0	0.0	0.0	0
OMa	39.92	58.74	27.99	65.07	25
YMa	81.26	-2.89	71.56	71.62	92
LMa	52.23	-42.42	13.6	44.55	162
VMa	30.57	1.41	-46.47	46.49	272

Daten für Maximalfarbe (Ma):

LAB^*LAB^*Ma : 54 -65 34
 LAB^*LCH^*Ma : 54 74 152
 lab^*olv^*Ma : 0.0 1.0 0.0
 lab^*rgb^*Ma : 0.14 1.0 0.0

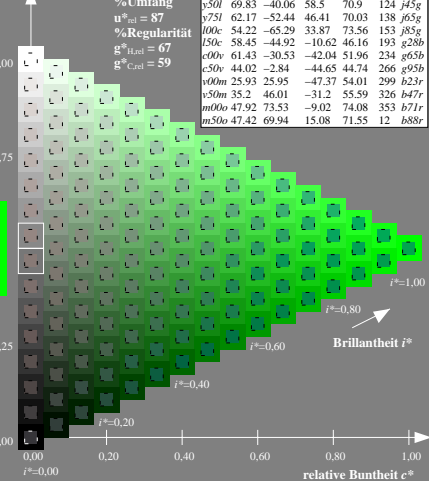
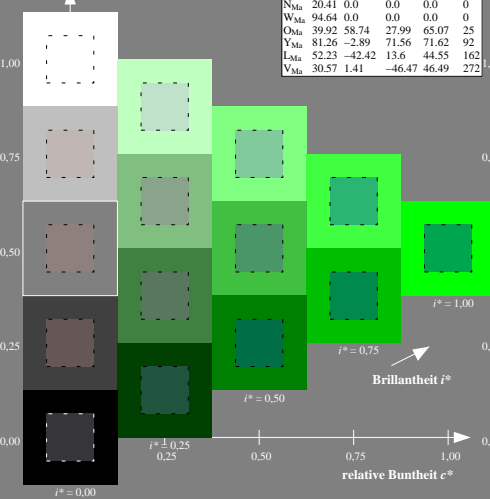
ORS20_95a; adaptierte CIELAB-Daten

u^*_d	$L^*=L^*_a$	a^*_a	b^*_a	C^*_{aba}	h^*_{aba}	u^*_e
o00y	46.89	66.19	40.28	77.48	31	r09j
o25y	57.13	47.6	52.04	70.52	48	r33j
o50y	66.36	30.85	62.62	69.81	64	r57j
o75y	76.18	13.03	73.89	75.03	80	r81j
y00l	88.66	-9.62	88.21	88.73	96	j06g
y25l	78.19	-26.54	71.69	76.45	110	j25g
y50l	69.83	-40.06	58.5	70.9	124	j45g
y75l	62.17	-52.44	46.41	70.03	138	j65g
100c	54.22	-65.29	33.87	73.56	153	j85g
l50c	58.45	-44.92	-10.62	46.16	193	g28b
c00v	61.43	-30.53	-42.04	51.96	234	g65b
c50v	44.02	-2.84	-44.65	44.74	266	g95b
v00m	25.93	25.95	-47.37	54.01	299	b23r
v50m	35.2	46.01	-31.2	55.59	326	b47r
m00o	47.92	73.53	-9.02	74.08	353	b71r
m50o	47.42	69.94	15.08	71.55	12	b88r

Dreiecks-Helligkeit i^*

%Umfang
 $u^*_{rel} = 87$
 %Regularität
 $i^*_{rel} = 67$
 $g^*_{rel} = 59$

Siehe ähnliche Dateien: <http://www.ps.bam.de/Fg57/>; www.ps.bam.de/Fg57/; www.ps.bam.de/Fg57/
 Technische Information: <http://www.ps.bam.de/Version2.1,10-1.1,Col5px=1>



BAM-Registrierung: 20081001-Fg57/L57g00N1.TXT/.PS BAM-Material-Code=matna
 Anwendung für Beurteilung und Messung von Drucker- oder Monitorsystemen